

NICARAGUA

Tomo I METODOLOGÍA DE MODELACIÓN PROBABILISTA DE RIESGOS NATURALES











INFORME TÉCNICO ERN-CAPRA-T2-19
ANÁLISIS BENEFICIO COSTO DE LA
MITIGACIÓN DEL RIESGO SÍSMICO EN
EDIFICACIONES PRIMORDIALES DE
MANAGUA



Evaluación de Riesgos Naturales - América Latina -

Consultores en Riesgos y Desastres

Consorcio conformado por:

Colombia

Carrera 19A # 84-14 Of 504 Edificio Torrenova Tel. 57-1-691-6113 Fax 57-1-691-6102 Bogotá, D.C.



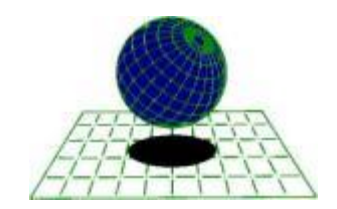


España

Centro Internacional de Métodos Numéricos en Ingeniería - CIMNE Campus Nord UPC Tel. 34-93-401-64-96 Fax 34-93-401-10-48 Barcelona



Vito Alessio Robles No. 179 Col. Hacienda de Guadalupe Chimalistac C.P.01050 Delegación Álvaro Obregón Tel. 55-5-616-8161 Fax 55-5-616-8162 México, D.F.



CIMNE



ERN Ingenieros Consultores, S. C.

EN Evaluación de Riesgos Naturales - América Latina www.ern-la.com

Evaluación de Riesgos Naturales - América Latina -



Stuart Gill

Especialista

Consultores en Riesgos y Desastres

Dirección y Coordinación de Grupos de Trabajo Técnico - Consorcio ERN América Latina

	<u> </u>	
Omar Darío Cardona A. Dirección General del Proyecto		
Luis Eduardo Yamín L.	Mario Gustavo Ordaz S.	Alex Horia Barbat B.
Dirección Técnica ERN (COL)	Dirección Técnica ERN (MEX)	Dirección Técnica CIMNE (ESP)
Gabriel Andrés Bernal G.	Eduardo Reinoso A.	Martha Liliana Carreño T.
Coordinación General ERN (COL)	Coordinación General ERN (MEX)	Coordinación General CIMNE (ESP)
Especialistas y Asesores – Grupos	de Trabajo	
Miguel Genaro Mora C.	Carlos Eduardo Avelar F.	Mabel Cristina Marulanda F.
Especialista ERN (COL)	Especialista ERN (MEX)	Especialista CIMNE(ESP)
César Augusto Velásquez V.	Benjamín Huerta G.	Jairo Andrés Valcarcel T.
Especialista ERN (COL)	Especialista ERN (MEX)	Especialista CIMNE(ESP)
Karina Santamaría D.	Mauro Pompeyo Niño L.	Juan Pablo Londoño L.
Especialista ERN (COL)	Especialista ERN (MEX)	Especialista CIMNE(ESP)
Mauricio Cardona O.	Isaías Martínez A.	René Salgueiro
Asistente Técnico ERN (COL)	Asistente Técnico ERN (MEX)	Especialista CIMNE(ESP)
Andrés Mauricio Torres C.	Edgar Osuna H.	Nieves Lantada
Asistente Técnico ERN (COL)	Asistente Técnico ERN (MEX)	Especialista CIMNE(ESP)
Diana Marcela González C.	José Juan Hernández G.	Álvaro Martín Moreno R.
Asistente Técnico ERN (COL)	Asistente Técnico ERN (MEX)	Asesor Asociado (COL)
Yinsury Sodel Peña V.	Marco Torres	Mario Díaz-Granados O.
Asistente Técnico ERN (COL)	Asesor Asociado (MEX)	Asesor Asociado (COL)
Andrei Garzón B.	Johoner Venicio Correa C.	Liliana Narvaez M.
Asistente Técnico ERN (COL)	Asistente Técnico ERN (COL)	Asesor Asociado (COL)
Asesores Nacionales		
Osmar E. Velasco	Sandra Zúñiga	Alonso Brenes
Guatemala	Nicaragua	Costa Rica
Banco Mundial – Gestión de Ries	go de Desastres / Región Latinoa	mérica y el Caribe
Francis Ghesquiere	Joaquín Toro	Edward C. Anderson
Coordinador Regional	Especialista	Especialista

Banco Interamericano de Desarrollo – Medio Ambiente / Desarrollo Rural / Desastres Naturales

Oscar A. Ishizawa

Especialista

Cassandra T. Rogers Flavio Bazán Hori Tsuneki Especialista Sectorial Especialista Sectorial Consultor Interno

Fernando Ramírez C.

Especialista

Evaluación de Riesgos Naturales - América Latina -



Consultores en Riesgos y Desastres

LIMITACIONES Y RESTRICCIONES

La aplicación que aquí se presenta es de carácter ilustrativo y presenta limitaciones y restricciones debido al nivel de resolución de la información disponible, de lo cual debe ser consciente el usuario final para efectos de poder dar un uso adecuado y consistente a los resultados obtenidos teniendo en cuenta el tipo de análisis realizado, el tipo y calidad de datos empleados, el nivel de resolución y precisión utilizado y la interpretación realizada. En consecuencia es importante señalar lo siguiente:

- Los modelos utilizados en los análisis tienen simplificaciones y supuestos para facilitar el cálculo que el usuario debe conocer debidamente. Éstas están descritas en detalle en los informes técnicos respectivos (ver referencias).
- Los análisis se han desarrollado con la mejor información disponible que presenta limitaciones en su confiabilidad y su grado actualización. Es posible que exista información mejor y más completa a la cual no se tuvo acceso.
- La información utilizada y los resultados de los análisis de amenaza, exposición y riesgo tienen una asociado un nivel de resolución según las unidades de análisis utilizadas, lo que se explica en el documento descriptivo del ejemplo.
- El uso que el usuario final le dé a la información no compromete a los autores de los estudios realizados, quienes presentan este ejemplo como lo que puede ser factible de hacer si se cuenta con información confiable con la precisión adecuada.
- Es responsabilidad del usuario comprender el tipo de modelo utilizado y sus limitaciones, la resolución y calidad de los datos, las limitaciones y suposiciones de los análisis y la interpretación realizada con el fin de darle a estos resultados un uso adecuado y consistente.
- Ni los desarrolladores del software, ni los promotores o financiadores del proyecto, ni los contratistas o subcontratistas que participaron en las aplicaciones o ejemplos de uso de los modelos asumen ninguna responsabilidad por la utilización que el usuario le dé a los resultados que aquí se presentan, por lo tanto están libres de responsabilidad por las pérdidas, daños, perjuicios o efectos que pueda derivarse por la utilización o interpretación de estos ejemplos demostrativos.

Tabla de contenido

1		Introducción	1-1
2		Metodología análisis beneficio-costo	2-1
3		Resultados análisis	3-1
3	3.1	Reducción de vulnerabilidad y modelo de costos	.3-1
3	3.2	2 Escuelas y colegios	.3-3
3	3.3	Resultado del análisis beneficio-costo	.3-3
3	3.4	Hospitales y centros de salud	.3-5
3	3.5	Tanques almacenamiento de agua	.3-7
4		Conclusiones y recomendaciones	4-1
5		Referencias	5-1

Índice de figuras

FIGURA 2.1 ANÁLISIS DE VALOR PRESENTE NETO DE COSTOS, BENEFICIOS E INVERSIÓN INICIAL E	N MEDIDAS
ESTRUCTURALES DE MITIGACIÓN	2-1
FIGURA 3.1 FUNCIONES DE VULNERABILIDAD PARA DIFERENTES TIPOLOGÍAS	3-2
FIGURA 3.2 CURVA PML PARA LOS ESTADOS ACTUAL Y REHABILITADO	3-3
FIGURA 3.3 CURVA TASA DE EXCEDENCIA PARA LOS ESTADOS ACTUAL Y REHABILITADO	3-3
FIGURA 3.4 FUNCIÓN DE PROBABILIDAD PARA LA RELACIÓN BENEFICIO-COSTO	3-4
FIGURA 3.5 CURVA PML PARA LOS ESTADOS ACTUAL Y REHABILITADO	3-5
FIGURA 3.6 CURVA PML PARA LOS ESTADOS ACTUAL Y REHABILITADO	3-5
FIGURA 3.7 FUNCIÓN DE PROBABILIDAD PARA LA RELACIÓN BENEFICIO-COSTO	
FIGURA 3.8 CURVA PML PARA LOS ESTADOS ACTUAL Y REHABILITADO	3-7
FIGURA 3.9 CURVA PML PARA LOS ESTADOS ACTUAL Y REHABILITADO	3-7
FIGURA 3.10 FUNCIÓN DE PROBABILIDAD PARA LA RELACIÓN BENEFICIO-COSTO	

Índice de tablas

TABLA 3.1 TIPOS CONSTRUCTIVOS REPRESENTADOS E INTERVENCIONES	3-1
Tabla 3.2 Estimación del costo de reforzamiento	
Tabla 3.3 Momentos estadísticos, factores de forma y resultados de análisis	
Tabla 3.4 Momentos estadísticos, factores de forma y resultados de análisis	
Tabla 3.5 Momentos estadísticos, factores de forma y resultados de análisis	

1 Introducción

En la práctica, la forma más efectiva para disminuir el riesgo sobre la infraestructura consiste en realizar obras de reforzamiento y rehabilitación estructural y no estructural. Este proceso requiere de una inversión económica bastante alta, la cual tiene como objeto disminuir la vulnerabilidad del elemento y con esto el nivel de riesgo. Esta reducción de la vulnerabilidad y/ riesgo se traduce en una disminución de pérdidas esperadas ante la ocurrencia futura de eventos en el largo plazo. La disminución corresponde no solo a las pérdidas físicas directas, sino a las pérdidas en los contenidos de los componentes afectados, a las pérdidas por interrupción del funcionamiento, a los impactos indirectos tales como los efectos sobre las personas (heridos y muertos) y a las asociada a la disminución o interrupción de la funcionalidad y relacionadas a efectos sociales indirectos, en general muy difíciles de cuantificar y pocas veces tenidos en cuenta.

El anterior planteamiento lleva a la posibilidad de realizar evaluaciones beneficio costo para diferentes alternativas de reforzamiento y/o rehabilitación, con el fin e contar con criterios claros que permitan definir la opción óptima de la intervención y proponer una priorización dentro de una serie de alternativas de intervención, todas técnicamente viables en un ambiente de disponibilidad de recursos limitada. En esta relación, el beneficio corresponde a los ahorros en las pérdidas esperadas futuras (incluyendo pérdidas directas, indirectas, por interrupción de actividades, sociales, ambientales, funcionales y en general todas las pérdidas asociadas a la afectación del componente), mientras que el costo corresponden al valor de cada una de las diferentes alternativas de obras de intervención.

La evaluación de las pérdidas esperadas futuras se basa en la recurrencia de eventos de diferentes intensidades. Ante la incertidumbre asociada con la ocurrencia de eventos futuros se recurre a la simulación de procesos que obedecen las relaciones de recurrencia histórica o a la evaluación de un modelo probabilista, igualmente calibrado con la ocurrencia histórica de eventos. Así, para cada simulación de eventos se traen las eventuales pérdidas futuras a valor presente para efectos de comparación (en el mismo tiempo, presente) de dichas pérdidas, con la inversión inicial consecuencia de la intervención planteada.

En el marco de la evaluación probabilista, es necesario determinar la distribución de probabilidad de las relaciones beneficio-costo. En ese caso se utiliza el valor presente neto de los ahorros en pérdidas esperadas futuras (considerando tanto el estado intervenido como el no intervenido) valor que se compara con el costo de la misma intervención (rehabilitación de la estructura) dadas las condiciones actuales. El método es igualmente aplicable en una situación de diseño en la cual se deseen evaluar diferentes alternativas de nivel de diseño.

El objetivo de la simulación que se presenta más adelante consiste en evaluar el riesgo potencial de varios componentes primordiales de infraestructura básica (Hospitales, tanques de almacenamiento de agua y escuelas) de la ciudad de Managua ante futuros eventos sísmicos, expresado en términos de pérdidas económicas anuales esperadas (PAE) con el

fin de adelantar un ejercicio beneficio—costo, en el cual pueda observarse el proceso de simulación de pérdidas esperadas futuras y su reducción debida a una alternativa de intervención para mejorar desempeño de las edificaciones. Este análisis se realiza en términos probabilistas, visto desde el punto de vista del modelo de recurrencia de eventos con base en sismos ocurridos en el pasado.

Los análisis presentados son de tipo ilustrativo, de la metodología y capacidades de las herramientas CAPRA. En general se basa en información tomada de otros análisis similares tratando de adaptar la información a las condiciones locales. La metodología propuesta debe servir como base para actualizar, depurar y refinar la información del modelo por parte de grupos de trabajo local con participación de funcionarios públicos, quienes deben conformar grupos de investigación con especialistas en la materia.

2 Metodología del análisis Beneficio-Costo

Los análisis de riesgo con base en relaciones beneficio-costo tiene dos grandes ventajas:

- Ofrece información directa que permite calificar diferentes alternativas de mitigación y reducción de riesgos, debido a que en cada caso puede evaluarse el impacto socioeconómico de cada una de las alternativas.
- Representa un criterio técnico y claro para establecer una priorización de intervención en diferentes componentes, o para definir las obras de intervención a realizar, siempre en términos de maximizar la relación beneficio-costo. Esto permite una programación racional de inversiones en mitigación y reducción de riesgos.

En estos tipos de análisis, los beneficios están relacionados con los ahorros futuros que se puedan lograr en términos de pérdidas directas, pérdidas en los contenidos y pérdidas indirectas esperadas, la eventual disminución en los efectos sociales directos y por la pérdida de funcionalidad que se puedan llegar a producir y los posibles ahorros en mantenimiento futuro. Para ello, es necesario contar con un estimativo relativamente confiable de las inversiones requeridas para cada una de las alternativas de mitigación, incluyendo los costos directos, indirectos, administrativos, financieros y los eventuales costos de mantenimiento en el lapso de tiempo seleccionado para el análisis, que normalmente es un periodo de varios años. Debe también establecerse una relación confiable entre las posibles intervenciones a realizar con la eventual disminución de la vulnerabilidad o de la amenaza que se logra. Los beneficios económicos que se generarían en el futuro deben traerse a valor presente para una adecuada comparación económica mediante una tasa de descuento apropiada. La Figura 2-1 presenta el esquema de un análisis típico beneficio-costo, en el cual, para una adecuada comparación, es necesario traer los costos y beneficios futuros generados con la implantación de una medida estructural y cotejarlos con la inversión inicial requerida.

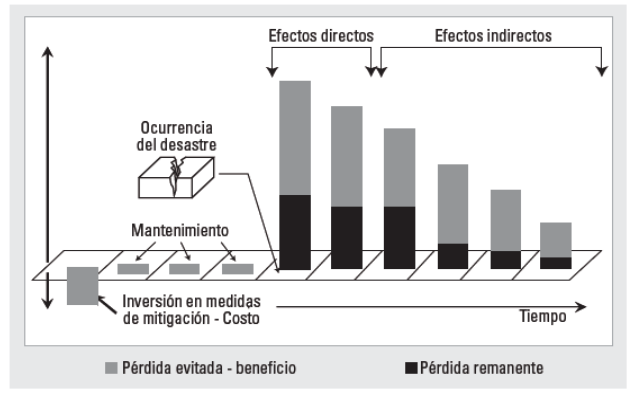


Figura 2-1
Análisis de valor presente neto de costos,
beneficios e inversión inicial en medidas estructurales de mitigación

La relación beneficio-costo, Q, se define como la relación entre el ahorro en pérdidas por la ejecución de programas de intervención estructural y el costo inicial de la intervención proyectada. De esta manera la relación beneficio-costo se plantea de la siguiente manera:

$$Q = \frac{L_U - L_R}{R}$$
 (Ec. 1)

Donde L_U es el valor presente de las pérdidas futuras en el estado no intervenido, L_R corresponde al valor presente de las pérdidas futuras en el estado rehabilitado, las cuales corresponden a variables aleatorias con distribución de probabilidad conocida y por lo tanto pueden ser calculadas. R corresponde al costo o valor de inversión por la ejecución del programa de intervención.

Los valores L_U y L_R pueden ser calculados de la siguiente manera:

$$L = \sum_{i=1}^{\infty} \beta_i e^{-\gamma t_i}$$
 (Ec. 2)

Donde β_i corresponde al valor de la perdida debida a un evento i en un tiempo t_i y γ corresponde a la tasa de descuento. De acuerdo con (Ordaz, 2009) se obtiene el cálculo de los dos momentos estadísticos de la variable aleatoria, L, como sigue:

$$E(L) = \frac{E(\beta_A)}{\gamma}$$
 (Ec. 3)

$$VAR(L) = \frac{VAR(\beta_A)}{2\gamma}$$
 (Ec. 4)

De acuerdo con (Ordaz, 2009) el valor presente neto de las pérdidas futuras puede ser representado mediante una distribución Gamma con parámetros dados como sigue:

$$p(L) = \frac{L^{r-1} \exp(-\lambda L) \lambda^r}{\Gamma(r)}$$
 (Ec. 5)

$$E(L) = \frac{r}{\lambda} = \varepsilon$$
 (Ec. 6)

$$C(L) = \frac{1}{\sqrt{r}} = C \tag{Ec. 7}$$

Con lo anterior el interés surge en evaluar el valor esperado de la relación beneficio-costo, E(Q), la probabilidad que dicha relación sea positiva, Pr(Q>1).

$$E(Q) = \frac{E(L_U) - E(L_R)}{R}$$
 (Ec. 8)

Donde $E(L_U)$ y $E(L_R)$ son el valor esperado del valor presente neto de pérdidas futuras para el estado actual y estado rehabilitado respectivamente.

La probabilidad de obtener una relación beneficio-costo positiva puede calcularse mediante la siguiente expresión:

$$Pr(L_U - L_R > R) = 1 - \int_{0}^{\infty} Gac(R + y; r_U, \lambda_U) p_R(y) dy$$
 (Ec. 9)

Donde $Gac(x; r, \gamma)$ es la función Gamma acumulativa, dada por:

$$Gac(x; r, \lambda) = \int_{0}^{x} \frac{y^{r-1} \exp(-\lambda y) \lambda^{r}}{\Gamma(r)} dy$$
 (Ec. 10)

3 Resultados del análisis

La evaluación de la relación beneficio-costo fue realizada bajo los resultados de análisis de riesgo obtenidos para los componentes de tres de los sectores primordiales de infraestructura básica descritos en el informe ERN-CAPRA-T2-7. Para una completa comprensión de los resultados que aquí se presentan, se deberá consultar en detalle los resultados indicados.

En el presente análisis solo se consideran las disminuciones en pérdidas directas de las construcciones. No se han considerado en este análisis las eventuales en pérdidas relacionadas con los contenidos de las construcciones, con el lucro cesante, con los efectos y pérdidas indirectas tales como afectación humana, suspensión del servicio, afectación indirecta a usuarios, etc.

3.1 Reducción de vulnerabilidad y modelo de costos

De acuerdo con lo planteado anteriormente, la medida de intervención adaptada a cada una de las clasificaciones de tipo estructural y usos disponibles definirá en términos generales la disminución de la vulnerabilidad de cada componente y por tanto los posibles ahorros futuros ante la ocurrencia de eventos. Para efectos del presente estudio, las edificaciones incluidas en el portafolio de análisis se han clasificado en 3 tipos estructurales básicos, que representan el nivel de vulnerabilidad actual típico de las construcciones. Para poder párametrizar el análisis, se supone que cada uno de estos tipos constructivos representativos se somete a una intervención para llevarlos a niveles de sismo resistencia comparables a los de la normativa sísmica vigente (si no hay una norma en el país, comparar con la norma de diseño sismo resistente internacional aceptada). La Tabla 3-1 resume los tipos constructivos considerados y describe el sistema que representan antes y después de la intervención.

Tabla 3-1 Tipos constructivos representados e intervenciones propuestas

	Tipos constructivos representados e intervenciones propuestas.				
No.	Tipo constructivo original	Tipo constructivo modificado	Nivel de intervención referido		
1	Mampostería simple con diafragma rígido	Mampostería confinada. Requiere intervenciones en la cimentación, construcción de elementos de refuerzo en concreto reforzado, anclaje y vigas de amarre a nivel de cubierta	Intermedio, a pesar de la complejidad no son intervenciones muy costosas		
2	Mampostería simple	Mampostería confinada. Requiere intervenciones en la cimentación, construcción de elementos de refuerzo en concreto reforzado, anclaje y vigas de amarre a nivel de cubierta	Alto, intervención intensiva de cimentaciones además de elementos de confinamiento		
3	Pórticos de acero resistentes a momento	Pórticos de acero arriostrados	Intermedio, no son intervenciones muy costosas, adicion de elementos en sitios localizados		

No.	Tipo constructivo original	Tipo constructivo modificado	Nivel de intervención referido
4	Tanque de acero	Tanques de acero anclados	Alto, intervención de la cimentación para la inclusión de puntos de alnclaje

Para valorar los costos de los anteriores niveles de intervención, se recurre a la experiencia en proyectos de intervención similares (ver ejemplo referencia, Proyecto de Bogotá). Para los tipos constructivos seleccionados las obras de reforzamiento tienen costos en los rangos indicados en la Tabla 3-2. La Tabla 3-2 indica igualmente el valor estimado por metro cuadrado y propone un porcentaje global de costo de intervención como porcentaje del valor expuesto.

Tabla 3-2 Estimación del costo de reforzamiento

No.	Tipo constructivo	Rango de valores por metro cuadrado construido	Rango de valores de intervención estructural	Rango de valores de intervención estructural
		US \$	m²	%
1	Mampostería simple con diafragma rígido	350	120	35
2	Mampostería simple	300	120	40
3	Pórticos de acero resistentes a momento	400	150	35
4	Tanques de acero	100 m³	60 m³	60

Las Figura 3-1 presente las funciones de vulnerabilidad representativa para los tipos constructivos utilizados, en las cuales se indican las curvas respectivas antes y después de la intervención. Igualmente cada una de las figuras indica el costo de intervención estimado como porcentaje del valor expuesto de construcción.

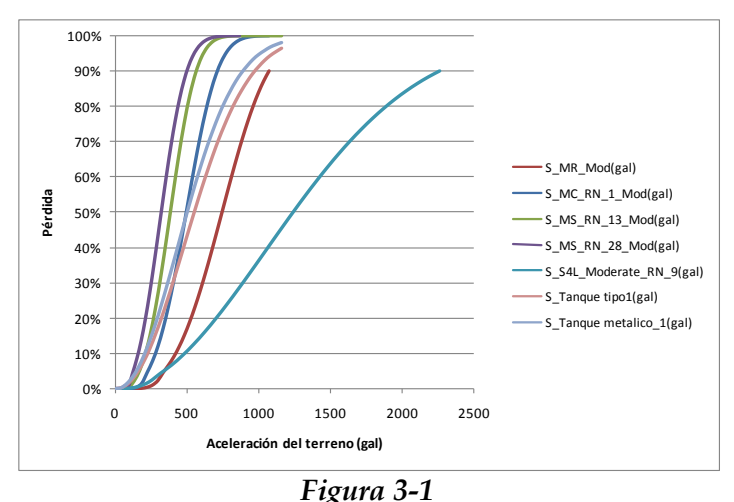


Figura 5-1 Funciones de vulnerabilidad para diferentes tipologías

3.2 Escuelas y colegios

De los resultados obtenidos en el análisis de riesgo para el grupo de escuelas y colegios se obtuvo las curvas de PML para los estados actuales y rehabilitados como se presenta en la Figura 3-2.

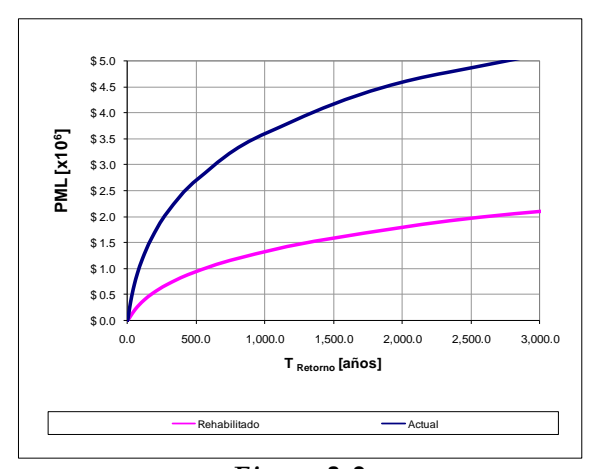


Figura 3-2 Curva PML para los estados actual y rehabilitado

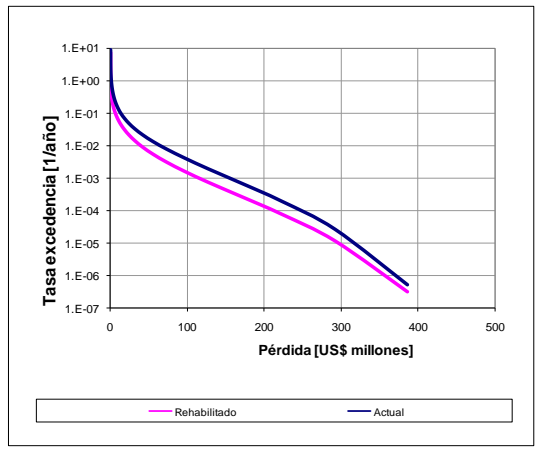


Figura 3-3 Curva tasa de excedencia para los estados actual y rehabilitado

3.3 Resultado del análisis beneficio-costo

De la curva de excedencia de pérdidas es posible obtener tanto el valor esperado, $E(\beta_A)$, como la varianza, $VAR(\beta_A)$, de la pérdida anual, estos dos últimos, esenciales para el cálculo de los dos momentos estadísticos del valor presente neto de pérdidas futuras, E(L) y VAR(L).

Una vez obtenidos los momentos estadísticos de L, es posible calcular los factores de forma , θ , y escala, λ , de la función Gamma para estimar la probabilidad de obtener una buena

relación beneficio-costo. Los momentos estadísticos y factores de forma descritos anteriormente para el caso del grupo de edificaciones de escuelas y colegios se presentan el la Tabla 3-3.

Tabla 3-3 Momentos estadísticos, factores de forma y resultados de análisis

g resultation are unutions				
Valor		Actual	Rehab	
Pér. Anual Media	[US\$]	7.04	3.04	
(Pér. Anual Media) ²	[US\$] ²	221	91	
E(L)	[US\$]	235	101	
VAR(L)	[US\$] ²	3,689	1,519	
σ(L)	[US\$]	61	39	
scale r		16	15	
shape θ		14.94	6.78	
E(Q)	[US\$]	0.80		
Pr(Q)	[%]	97.2%		
Pr(Q>1)	[%]	88%		
Tasa de descuento	[%]	3.0%		

Del análisis realizado para el grupo se obtiene un valor esperado de la relación beneficio-costo, E(Q), es 0.44 con una probabilidad del 97%, mientras que la probabilidad que la relación sea superior a la unidad es del 14%. El la Figura 3-4 se presenta la función de probabilidad para la relación beneficio-costo del grupo de edificaciones ante la alternativa de rehabilitación planteada.

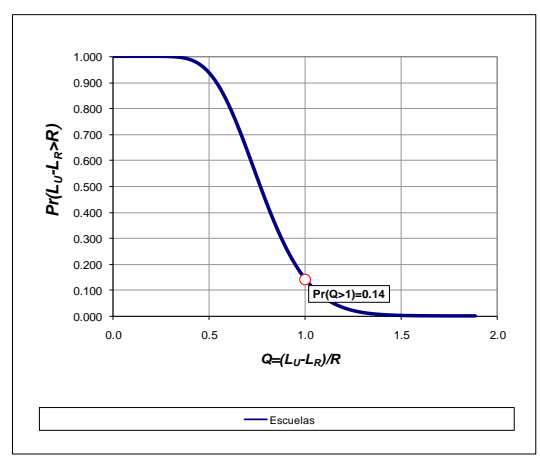


Figura 3-4 Función de probabilidad para la relación beneficio-costo

3.4 Hospitales y centros de salud

De los resultados obtenidos en el análisis de riesgo para el grupo de hospitales y centros de salud se obtienen las curvas de excedencia de pérdidas para los estados actuales y rehabilitados como se presenta en la Figura 3-5.

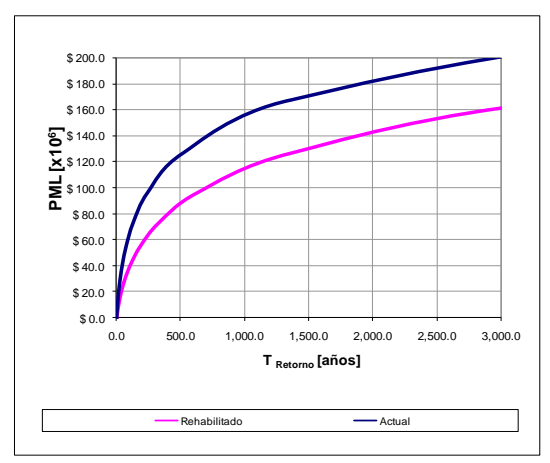


Figura 3-5 Curva PML para los estados actual y rehabilitado

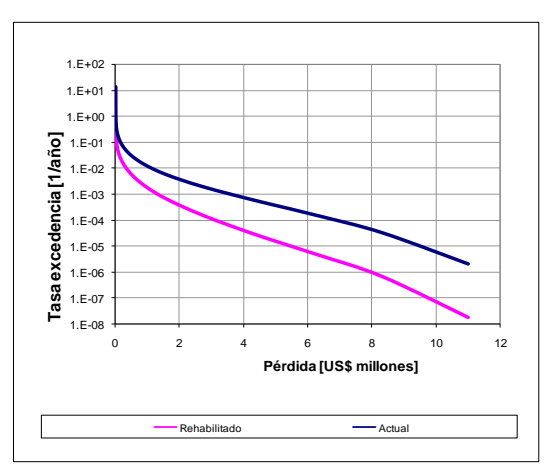


Figura 3-6 Curva PML para los estados actual y rehabilitado

Como se describió anteriormente, de las curvas de excedencia de pérdida para el grupo de edificaciones de hospitales y centros de salud, presentadas en la Figura 3-5, es posible calcular los momentos estadísticos y factores de forma descritos en la Tabla 3-4.

Tabla 3-4 Momentos estadísticos, factores de forma y resultados de análisis

g . ce				
Valor		Actual	Rehab	
Pér. Anual Media	[US\$]	0.08	0.02	
(Pér. Anual Media) ²	[US\$] ²	0.1	0.0	
E(L)	[US\$]	2.8	0.8	
VAR(L)	[US\$] ²	1.4	0.2	
σ(L)	[US\$]	1.2	0.4	
scale r		0.5	0.2	
shape θ		5.89	3.42	
E(Q)	[US\$]	0.59		
Pr(Q)	[%]	72.2%		
Pr(Q>1)	[%]	26%		
Tasa de descuento	[%]	3.0%		

Del análisis realizado para el grupo se obtiene un valor esperado de la relación beneficio-costo, E(Q), es 0.41 con una probabilidad del 72.2%, mientras que la probabilidad que la relación sea superior a la unidad es del 5%. El la Figura 3-7 se presenta la función de probabilidad para la relación beneficio-costo del grupo de edificaciones ante la alternativa de rehabilitación planteada.

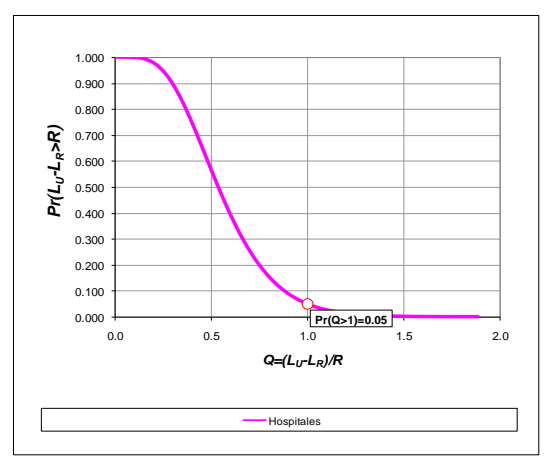


Figura 3-7 Función de probabilidad para la relación beneficio-costo

3.5 Tanques almacenamiento de agua

De los resultados obtenidos en el análisis de riesgo para el grupo de tanques de almacenamiento de agua se obtienen las curvas de excedencia de pérdidas para los estados actuales y rehabilitados como se presenta en la Figura 3-8.

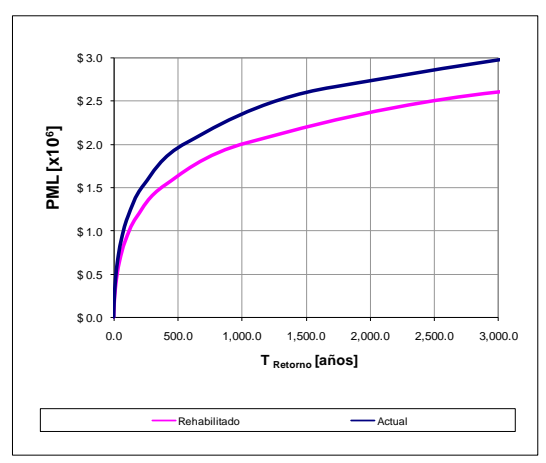


Figura 3-8 Curva PML para los estados actual y rehabilitado

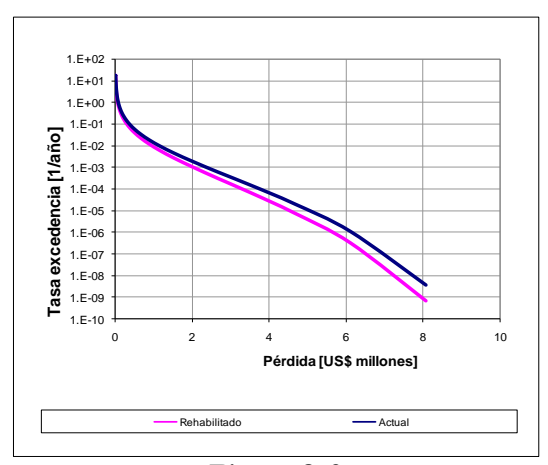


Figura 3-9 Curva PML para los estados actual y rehabilitado

Como se describió anteriormente, de las curvas de excedencia de pérdida para el grupo de estructuras de tanques de almacenamiento de agua, presentadas en la Figura 3-8, es posible calcular los momentos estadísticos y factores de forma descritos en la Tabla 3-5.

Tabla 3-5 Momentos estadísticos, factores de forma y resultados de análisis

g				
Valor		Actual	Rehab	
Pér. Anual Media	[US\$]	0.37	0.30	
(Pér. Anual Media) ²	[US\$] ²	0.1	0.1	
E(L)	[US\$]	12.5	9.9	
VAR(L)	[US\$] ²	1.5	1.0	
σ(L)	[US\$]	1.2	1.0	
scale r		0.1	0.1	
shape θ		104.98	97.93	
E(Q)	[US\$]	0.13		
Pr(Q)	[%]	100.0%		
Pr(Q>1)	[%]	0%		
Tasa de descuento	[%]	3.0%		

Del análisis realizado para el grupo se obtiene un valor esperado de la relación beneficiocosto, E(Q), es 0.22 con una probabilidad del 100%, mientras que la probabilidad que la relación sea superior a la unidad es del 64%. El la Figura 3-10 se presenta la función de probabilidad para la relación beneficio-costo del grupo de edificaciones ante la alternativa de rehabilitación planteada.

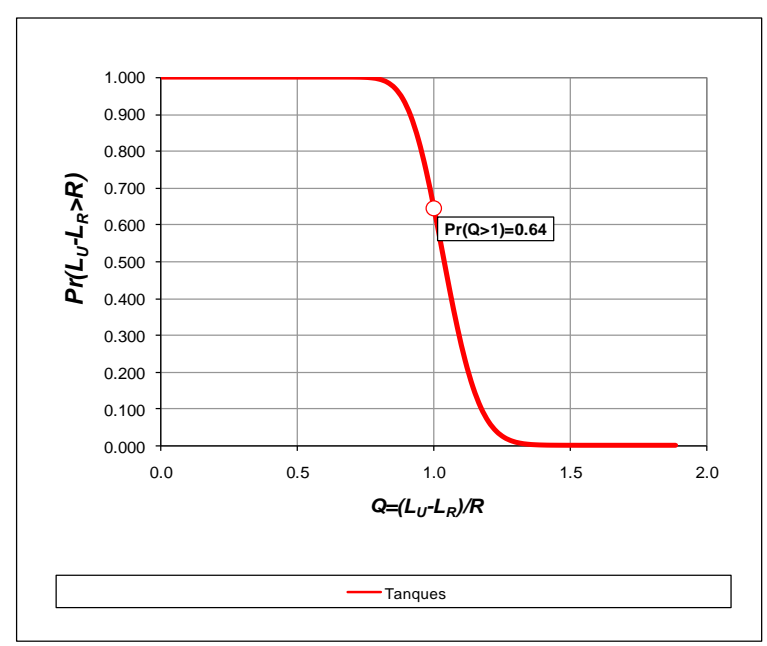


Figura 3-10 Función de probabilidad para la relación beneficio-costo

4 Conclusiones y recomendaciones

El análisis mediante relaciones beneficio-costo exige la definición de una serie de elementos complementarios, incluyendo el análisis integral de beneficios y el análisis de relaciones costo de rehabilitación contra disminución en la vulnerabilidad.

Para un análisis integral de los eventuales beneficios que se obtienen con una intervención o rehabilitación estructural deben considerarse las siguientes pérdidas esperadas, el cual debe incluir todos los componentes proyectados en el tiempo:

a) Directas:

- Estructura
- Acabados
- Contenidos
- Humanas

b) Indirectas:

- Lucro cesante o interrupción del funcionamiento
- Costos de mantenimiento
- Efectos sociales indirectos
- Efectos ambientales
- Costos de oportunidad y desarrollo

Sin embargo debe considerar que no todas las pérdidas o impactos se miden en términos económicos. Por ejemplo la pérdida de vidas humanas o los impactos sociales indirectos, tales como los asociados a una eventual interrupción en los servicios de un hospital, no son fácilmente cuantificables en estos términos, por lo cual no serían en general aditivos a los demás, sino complementarios.

Otro aspecto relevante para el análisis beneficio-costo consiste en establecer funciones adecuadas entre los costos de una eventual rehabilitación y la disminución en la vulnerabilidad representada por la reducción en pérdidas esperadas para la situación. Dicha relación se plantea normalmente a nivel de un estado determinado como por ejemplo cual sería el costo de llevar a una estructura, vulnerable, hasta un nivel de seguridad compatible con la normativa vigente y definir así el nivel asociado al caso rehabilitado, el que corresponde al nivel de seguridad de la normativa.

En la mayoría de las situaciones la relación entre costo de rehabilitación y reducción de vulnerabilidad depende de cada una de las edificaciones a intervenir, por lo cual, no resulta fácil plantear modelos generalizados sobre esta relación. Se recomienda en general consultar especialistas en la materia para lograr una relación balanceada y ajustada a la realidad.

Se pueden plantear modelos indicativos que permitan realizar análisis preliminares basados por ejemplo en el costo por metro cuadrado requerido para disminuir porcentualmente la vulnerabilidad.

Según esta relación se podría realizar varios análisis para diferentes niveles de seguridad (opciones de rehabilitación) para obtener finalmente relaciones entre el costo de inversión inicial y la relación beneficio-costo correspondiente.

La evaluación de la distribución de probabilidad de la relación beneficio-costo es una buena herramienta para toma de decisiones, mediante el análisis de los beneficios netos de medidas de mitigación de riesgo, tanto para obras de rehabilitación estructural, priorización de inversiones en rehabilitación, toma de decisiones alrededor de renovación de activos, como para planteamientos en códigos de construcción y reforzamiento. Debido a la naturaleza estocástica de los fenómenos naturales, sismo en el presente análisis, el valor presente neto de pérdidas es una cantidad con un alto nivel incertidumbre. Por lo tanto, las decisiones no deben ser establecidas solamente con base en valores esperados, por ello, es necesario el uso de metodologías que permitan determinar la probabilidad de tener relaciones beneficio-costo positivas y seleccionar la alternativa con máxima probabilidad.

5 Referencias

Evaluación de Riesgos Naturales ERN – América Latina. Riesgo sísmico de edificaciones primordiales de Managua. Informe ERN-CAPRA-T2-7. http://www.ecapra.org. 2009.

Ordaz, M., Yamin, L. E., Cardona, O. D., & Mora, M. G. (2009). Probabilistic benefit cost ratios for seismic retroffiting of buildings. Bogotá, 2009.